

تعیین خاستگاه و روند تکامل سیال‌های کانه‌زا براساس بررسی میانبارهای سیال در گستره مجیدآباد (شمال شرق اهر-شمال غرب ایران)

حانیه بابائی^۱، سید غفور علوف^{(۲)*} و ارطان سیمونز^۳

۱. دانشجوی دکتری، گروه علوم زمین، دانشکده علوم طبیعی، دانشگاه تبریز
۲. دانشیار، گروه علوم زمین، دانشکده علوم طبیعی، دانشگاه تبریز
۳. دانشیار، گروه علوم زمین، دانشکده علوم طبیعی، دانشگاه تبریز

تاریخ دریافت: ۱۴۰۳/۰۶/۳۰

تاریخ پذیرش: ۱۴۰۳/۰۸/۱۲

چکیده

گستره مجیدآباد در شمال غرب ایران، استان آذربایجان شرقی و در ۳۲ کیلومتری شمال شرق اهر واقع شده است. این گستره از لحاظ تقسیم‌بندی ساختاری-تکتونیکی ایران، در حوضه البرز-آذربایجان قرار دارد و بخشی از انتهای شمال‌غربی قوس ماقمایی ارومیه-دختر است. واحدهای تشکیل‌دهنده گستره شامل سنگ‌های آذرین و آذرآواری ائوسن با ترکیب آندزیتی، تراکی‌آندزیتی تا تراکی‌باالتی و توده‌های نفوذی الیگومن با ترکیب مونزودیوریتی و گابرویی می‌باشند. در اثر فرایندهای گرمابی شکل گرفته از توده نفوذی مونزودیوریتی در واحدهای رسوبی-آتشفشاری ائوسن، دگرسانی‌های گستردگی در این گستره رخ داده است. کانه‌زایی به شکل پراکنده و رگه-رگچه‌ای می‌باشد که در دو مرحله جدأگانه درونزاد و برونزاد رخ داده است. کانه‌های درونزاد شامل پیریت و کالکوپیریت هستند که با کانه‌های برونزاد کالکوسبیت، کولولیت، دیژنیت، هماتیت، لیمونیت و مالاکیت همراهی می‌شوند. در بررسی میانبارهای سیال پنج نوع میانبار سیال مشاهده می‌شود که شامل تکفار مایع، تکفار بخار، دو فازی غنی از مایع، دو فازی غنی از بخار و چندفارزی حاوی فاز جامد در رگچه‌های کوارتزی کانه‌دار می‌باشند. براساس نتایج ریزدماسنجی، دمایی همگن‌شدگی و شوری میانبارهای سیال بررسی شده به ترتیب ۱۴۲ تا ۵۶۷ درجه سانتی‌گراد و چهار تا ۵۳ درصد وزنی معادل نمک طعام می‌باشد. لیگاندهای موثر در حمل و نقل فلزات از نوع کلریدی و سولفیدی است و پدیده جوشش، سرد شدن و رقیق‌شدگی با سیال‌های جوی عامل اصلی تهنشست عناصر فلزی و رخداد کانی‌سازی در گستره مجیدآباد است. بر این اساس، کانی‌سازی در گستره مجیدآباد در شرایط اپی‌ترمال و شاید وابسته به یک سامانه پورفیری صورت گرفته است.

واژه‌های کلیدی: اپی‌ترمال، پورفیری، سیال درگیر، کانی‌زایی، مجیدآباد.

* نویسنده مرتبط: ghafour_alavi@tabrizu.ac.ir

مقدمه

استفاده از میانبارهای سیال به عنوان ابزاری در بررسی خاستگاه کانسارها بهویژه در ۵۰ سال اخیر بسیار متداول بوده است. میانبارهای سیال نمونه‌های واقعی از سیال‌هایی هستند که طی تشکیل کانی‌ها و کانه‌های مختلف، همراه با آنها به دام افتاده‌اند و ازین‌رو برای شناسایی فرآیندهای زمین‌شناسی گذشته بسیار مهم هستند. عامل اصلی در تشکیل میانبارهای سیال، بی‌نظمی سطوح بلوری هنگام تشکیل آنهاست، به طوری که در ناهمواری‌های میکروسکوپی سطوح بلوری، بخشی از سیال کانه‌زا جا گرفته و سپس با رشد سطح بعدی، فضاهای کوچک پوشیده می‌گردند و سیال‌ها در این حفره‌ها حبس می‌شوند و سرانجام میانبارهای سیال به وجود می‌آیند. البته، شکل‌های متفاوتی از میانبارهای سیال وجود دارد که در این میان، انواع اولیه که همزمان با تشکیل کانی به دام افتاده‌اند بسیار مهم می‌باشند و بیانگر شرایط تشکیل توده‌های معدنی هستند (Randive et al., 2014). بر این اساس، سیالات درگیر به دام افتاده در رگ‌ها و رگچه‌های گرمابی می‌توانند علاوه بر ماهیت و خواص فیزیکوشیمیایی این سیالات، وضعیت سیالات کانه‌ساز و چگونگی تشکیل کانه را مشخص سازند (Wilkinson, 2001). ریزدماسنجی سیالات درگیر به طور بالقوه می‌تواند به عنوان شاخص محیط فیزیکوشیمیایی کانی‌سازی مس عمل کند (Zarasvandi et al., 2014).

پژوهش‌های بسیاری پیرامون میانبارهای سیال رگ‌های کوارتز در پهنه‌های کانه‌سازی شده بهویژه طلا، به‌منظور آگاهی از خاستگاه و ویژگی‌های کانه‌زایی در سراسر جهان انجام شده است (Chi and Guha, 2011; Kant et al., 2012; Moncada and Bodnar, 2012; Tun et al., 2014; Hajalilou and Aghazadeh, 2016; Shimizu, 2018؛ Radmerd و همکاران، ۱۳۹۶).

گستره مجیدآباد در حوضه ارسباران قرار دارد. کمریند فلززایی ارسباران در شمال غربی ایران واقع می‌باشد و شامل گستره‌هایی از جمله اهر، کلیبر، ورزقان، سیه‌رود و بخش‌هایی از شمال و غرب مشکین‌شهر است. برخی زمین‌شناسان این کمریند را ادامه قفقاز کوچک در نظر می‌گیرند که

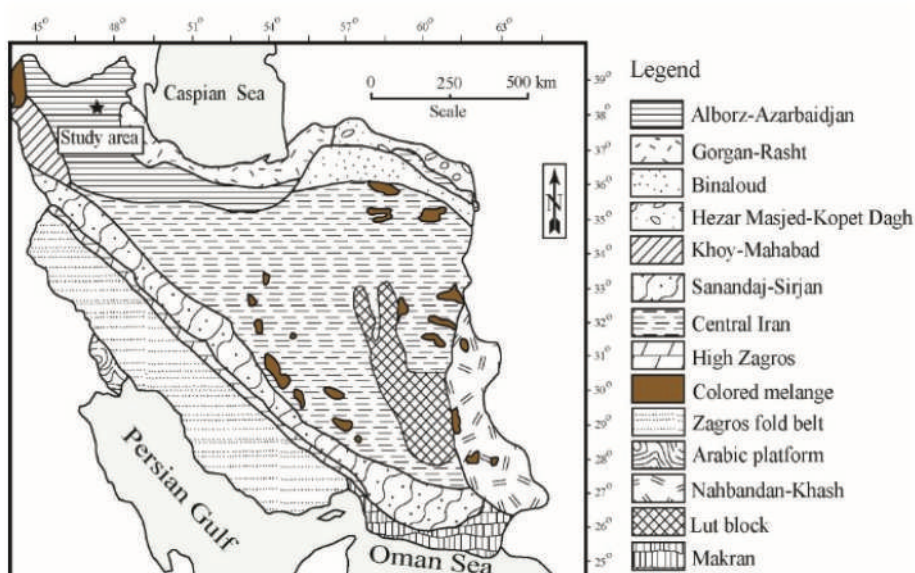
روش مطالعه

بررسی‌ها در دو بخش صحرایی و آزمایشگاهی صورت گرفت. در بخش صحرایی، به‌منظور ارزیابی کلی و بررسی

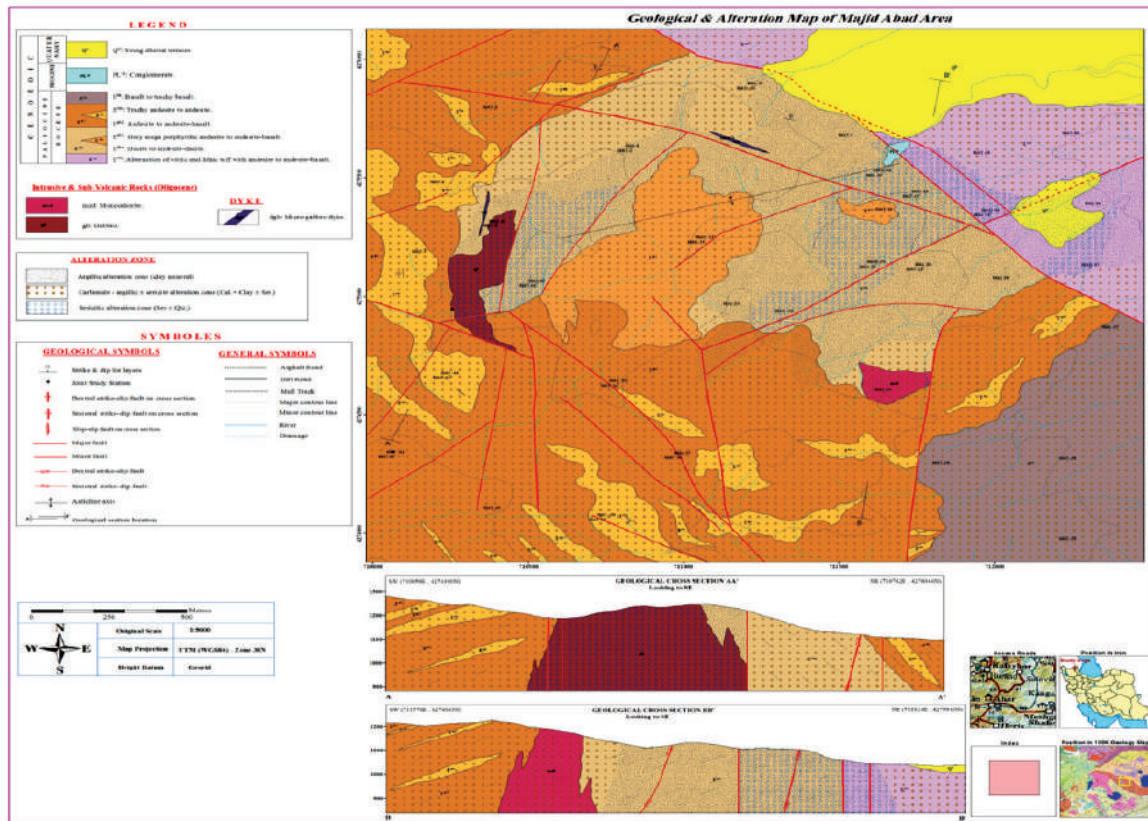
زمین‌شناسی

گستره مورد مطالعه به مساحت ۵/۶ کیلومتر مربع، به مختصات جغرافیایی "۳۹° ۴۷' ۲۶" تا "۴۷° ۳۶' ۳۸" عرض شمالی، در شرقی و "۱۹° ۳۵' ۳۶" تا "۲۹° ۳۸' ۳۶" عرض شمالی، در ۳۲ کیلومتری شمال شرق شهرستان اهر در استان آذربایجان شرقی، شمال غرب ایران واقع شده است. این گستره بر اساس تقسیم‌بندی پهنه‌های ساختاری ایران (Nabavi) ۱۹۷۶ در پهنه البرز-آذربایجان قرار دارد (شکل ۱).
واحدهای سنگی آتشفشاری-آذرآواری تفکیک شده در گستره مجیدآباد به ترتیب سنی از قدیم به جدید عبارتند از: تنابو ویتریک-لیتیک توف با گدازه‌های آندزیتی و آندزیت بازالتی (Evta)، گدازه داسیت تا آندزیت-داسیت (Edan)، گدازه‌های آندزیتی و آندزیت بازالتی مگاپورفیری تیره‌رنگ (Eab1)، گدازه‌های آندزیت تا آندزیت-بازالتی (Eab2)، گدازه‌های آندزیتی تراکی آندزیتی (Etan) و گدازه‌های بازالت تراکی بازالت (Eba) متعلق به اوسن. واحدهای سنگی آذربین نفوذی و سابولکانیک نیز عبارتند از: گابرو (gb)، مونزودیوریت (mzd) و دایک‌های میکروگابرویی (dgb) به سن الیگوسن (شکل ۲).

واحدهای سنگی گستره و بررسی روابط واحدها و نمونه‌برداری از آنها از گستره بازدید به عمل آمد. ۱۵ مقطع نازک از نمونه‌های برداشت شده از سنگ‌های آذرآواری و آتشفشاری برای بررسی سنگ‌شناسی و کانی‌شناسی و ۲۰ مقطع صیقلی از نمونه‌های برداشت شده از گمانه‌های اکتشافی که در آنها کانه‌زایی سولفیدی وجود داشت، به منظور بررسی کانه‌زایی و تعیین توالی پاراژنتیکی تهیه شد و در دانشگاه تبریز مورد بررسی قرار گرفت. برای مطالعه میانبارهای سیال، تعداد شش مقطع دوبر صیقلی از رگچه‌های کوارتزی حاوی کانی‌سازی از سه گمانه با عمق‌های مختلف (گمانه اول عمق ۶۳ و ۱۹۱ متری، گمانه دوم عمق ۲۰۱ و ۲۲۹ متری و گمانه سوم عمق ۲۵۹ و ۳۰۸ متری) تهیه شد. در مجموع ۶۶ میانبار سیال از نمونه‌های برداشت شده از گمانه‌ها مورد ریزدانستجی قرار گرفت. این عملیات توسط استیج لینکام مدل THMS600 نصب شده بر روی میکروسکوپ المپوس مدل BX51، با بازه حرارتی +۶۰ تا -۱۹۰ درجه سانتی‌گراد در دانشگاه پیام نور تبریز صورت گرفت. برای تنظیم استیج در حالت گرمایش از پودر نیترات سدیم با دمای ذوب ۳۰۷ درجه سانتی‌گراد و در حالت سرمایش از ازت مایع با نقطه انجماد -۹۵ درجه سانتی‌گراد استفاده شد. خطای دستگاه در حالت گرمایش 1 ± 0 درجه سانتی‌گراد و در حالت سرمایش 2 ± 0 درجه سانتی‌گراد بوده است.



شکل ۱. موقعیت گستره مورد بررسی در نقشه تقسیم‌بندی پهنه‌های ساختاری ایران (نبوی، ۱۳۵۵)



شکل ۲. نقشه زمین‌شناسی ۱:۵۰۰۰۰ مجیدآباد برگرفته از نقشه‌های زمین‌شناسی ۱:۱۰۰۰۰۰ اهر (مهردوی و امینی‌فضل، ۱۳۶۸) و کلیر (مهرپرتو و ناظر، ۱۳۷۸)

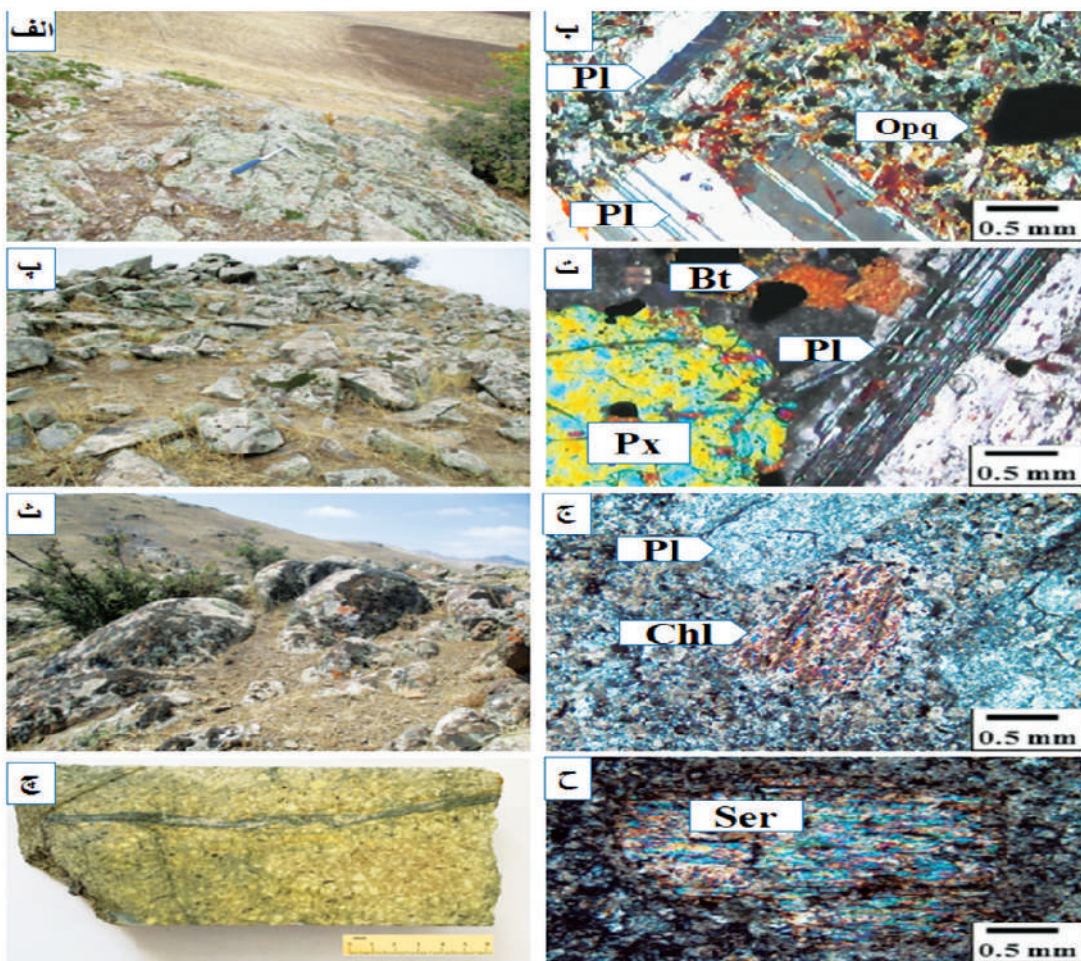
رنگ این مجموعه در بازیدهای صحرایی و نمونه دستی، خاکستری متوسط تا خاکستری روشن است. مهم‌ترین سنگ‌های میزبان گستره مطالعاتی، سنگ‌های آندزیتی- بازالتی هستند که براساس بررسی‌های میکروسکوپی، کانی اصلی آنها شامل پلاژیوکلاز می‌باشد (شکل ۳-ب). توده نفوذی گابروی در غرب گستره واقع شده و دارای کانی‌های پلاژیوکلاز و پیروکسن می‌باشد (شکل ۳-ث). توده نفوذی مونزودیوریتی در شرق گستره واقع شده و دارای کانی‌های کوارتز، پلاژیوکلاز و فلدسپار آکالان همراه با کانی‌های ثانویه کلریت (شکل ۳-ج) و سریسیت (شکل ۳-ح) می‌باشد.

کانه‌زا

شواهد صحرایی و بررسی‌های انجام شده نشان می‌دهند که نفوذ توده‌های مونزودیوریتی و گابروی الیگوسن در سنگ‌های آتش‌شناختی اؤوسن همراه با عملکرد گسل‌ها در شکل‌گیری کانی‌سازی موثر بوده است. با توجه به نتایج

سنگنگاری

در گستره مجیدآباد گسل‌ها و شکستگی‌هایی وجود دارند که واحدهای آتش‌شناختی آندزیتی-بازالتی اؤوسن (شکل ۳-الف) و توده‌های نفوذی را قطع کرده‌اند و محل مناسبی برای تزریق محلول‌های گرمابی به وجود آورده‌اند. عبور سیال‌های گرمابی در راستای شکستگی‌ها و گسل‌ها، افرون بر گسترش دگرسانی، موجب نهشته شدن کانه‌های فلزی در این گستره شده است. از برجسته‌ترین سیماهای زمین‌شناسی اقتصادی گستره مجیدآباد می‌توان به نفوذ توده‌های آذرین درونی گابروی (شکل ۳-پ) و مونزودیوریتی (شکل ۳-ث) به درون تشکیلات آندزیتی-بازالتی و گسترش یک سامانه دگرسانی گسترش داشاره کرد. سامانه دگرسانی یاد شده از پهنه‌های دگرسانی آرزیلیک، فیلیک، پروپیلیتیک و سیلیسی تشکیل شده است. از نظر ریخت‌شناسی، توده‌های نفوذی، ارتفاعات متوسط تا خشن گستره را تشکیل می‌دهند.



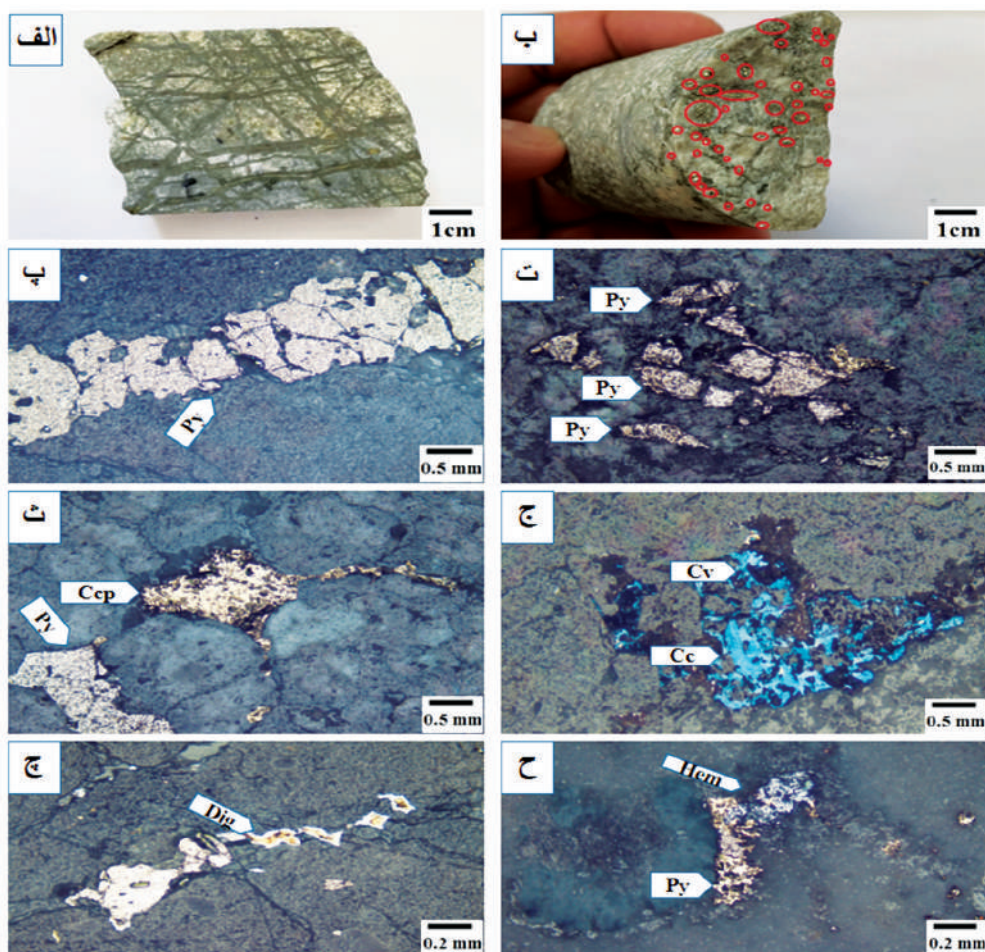
شکل ۳. تصاویر صحراهی و میکروسکوپی از واحدهای سنگی گستره مورد مطالعه، (الف) نمایی از رخمنون واحد آندزیتی-بازالتی، (ب) پلاژیوکلازهای درشتبلور به همراه کانی‌های اپک در زمینه دانه‌بیز مشکل از پلاژیوکلاز، بیوتیت و پیروکسن در واحد گابرویی، (ت) درشتبلورهای پلاژیوکلاز، بیوتیت و پیروکسن در واحد گابرویی، (ث) نمایی از رخمنون واحد مونزودیبوریتی، (ج) بلورهای دگرسان پلاژیوکلاز و تشکیل کانی ثانویه کلریت در متن توده مونزودیبوریتی، (چ) نمونه دستی از گمانه‌های خفاری مربوط به واحد مونزودیبوریتی (عمق ۲۲۹ متری)، (ح) تشکیل کانی ثانویه سریسیت در توده مونزودیبوریتی. علایم اختصاری کانی‌ها برگرفته از (Whitney and Evans 2010) می‌باشند

رگچه‌های کوارتزی در این گستره توسط واحد مونزودیبوریتی میزانی می‌شوند. کانه‌زایی در گستره در دو مرحله درون‌زاد و برون‌زاد رخ داده است. در مرحله درون‌زاد، فعالیت محلول‌های گرمابی سبب تشکیل رگه-رگچه‌های کوارتزی، گسترش پهنه‌های دگرسانی و کانی‌سازی سولفیدی (پیریت و کالکوپیریت) شده است (شکل ۵-پ-وت). در مرحله برون‌زاد، واکنش سیال‌های جوی فرورو با کانی‌های سولفیدی اولیه سبب تشکیل کانی‌های ثانویه مانند سولفیدهای ثانویه مس (کالکوسیت، کوولیت و دیجنیت) (شکل ۵-ج، چ)، اکسید و هیدروکسیدهای آهن (هماتیت و لیمونیت) (شکل ۵-ح) و کربنات مس (مالاکیت) شده است.

سنگنگاری انجام شده بر مقاطع صیقلی تهیه شده از نمونه‌هایی از کانسنگ، توالی تشکیل کانه‌ها در رگه‌های سیلیسی دربردارنده کانه‌های سولفیدی در گستره مجیدآباد را می‌توان به صورت شکل ۴ در نظر گرفت. کانه‌زایی در گستره مجیدآباد به صورت رگه-رگچه‌ای (شکل ۵-الف) و پراکنده (شکل ۵-ب) به همراه رگه‌های سیلیسی در واحد نفوذی میزان صورت گرفته است. کانه‌زایی رگه-رگچه‌ای در گسل‌ها، شکستگی‌ها و درزهای رخ داده است و در آن کانی‌های سولفیدی و سیلیس در اثر نهشت مستقیم از سیال‌های گرمابی کانه‌زا تشکیل شده‌اند و کانه‌های سولفیدی حدود هشت تا ۱۰ درصد سنگ را تشکیل می‌دهند. رگه-

Mineral	Hypogene mineralization stage	Supergene mineralization stage
Quartz	██████████	
Pyrite	██████████	
Chalcopyrite	██████████	
Calcite	██████████	
Chalcocite		███
Covellite		███
Digenite		███
Hematite		███
Limonite		██
Goethite		██
Jarosite		██
Malachite		██

شکل ۴. توالی پارازیتیکی تشکیل کانی‌ها در گستره مجیدآباد

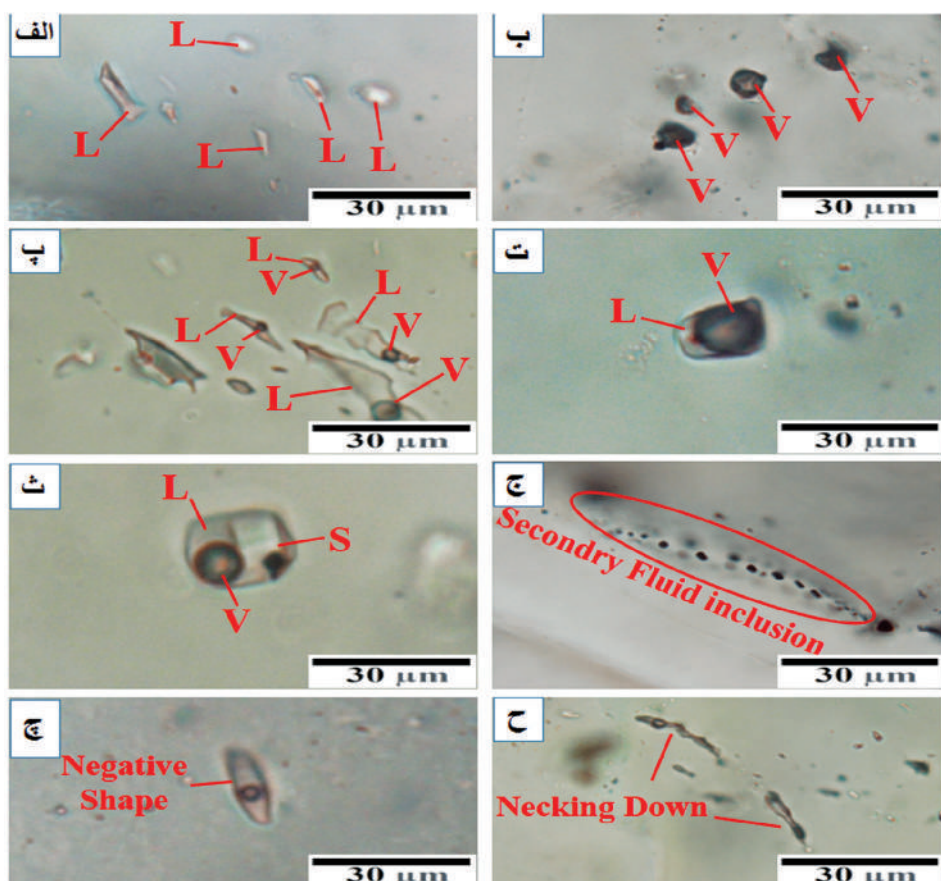


شکل ۵. تصاویر ماکروسکوپی و میکروسکوپی از کانی‌سازی در گستره مجیدآباد، (الف) نمونه دستی از کانی‌زایی سولفیدی پیریت و کالکوپیریت در ارتباط با رگله‌های استوکورکی کوارتز (عمق ۲۵۹ متری)، (ب) نمونه دستی از کانی‌زایی سولفیدی پیریت و کالکوپیریت به صورت افسان و پراکنده در توده موززودیبوریتی (عمق ۶۳ متری)، (پ) تشکیل پیریت به صورت رگه‌ای در امتداد رگه‌های استوکورکی کوارتز، (ت) تشکیل پیریت به صورت منفرد و پراکنده، (ث) بلورهای بی‌شكل پیریت به همراه کالکوپیریت، (ج) تشکیل کانی‌های ثانویه مس (کالکوسیت و کولولیت) حاصل از دگرسانی کالکوپیریت، (چ) تبدیل کالکوپیریت از حاشیه به کانی ثانویه دیجنتیت، (ح) تشکیل کانی هماتیت از دگرسانی پیریت. علایم اختصاری کانی‌ها برگرفته از (Whitney and Evans, 2010) می‌باشند

میانبارهای سیال

شده‌اند، به نسبت کمیاب هستند. اندازه این میانبارها بین پنج تا ۱۰ میکرون متغیر است. این میانبارها به صورت منفرد یافت می‌شوند و از نظر شکل اغلب نامنظم هستند (شکل ۶-الف). میانبارهای سیال تک‌فاز گازی تنها از فاز بخار (V) تشکیل شده‌اند و به رنگ تیره هستند. این میانبارها با فراوانی به نسبت زیاد و به صورت انباشتی، دنباله‌ای و منفرد در نمونه‌ها دیده می‌شوند. اندازه آنها از چهار تا هفت میکرون متغیر است. این میانبارها به شکل‌های کروی، بیضوی و نامنظم دیده می‌شوند (شکل ۶-ب). میانبارهای سیال دوفازی غنی از مایع (L+V) از یک فاز مایع و یک حباب بخار تشکیل شده‌اند و طی اندازه‌گیری‌های گرمایشی به فاز مایع همگن می‌شوند. حجم فاز بخار در این میانبارها

میانبارهای سیال در گستره کانی‌سازی مجیدآباد بر روی نمونه‌هایی از رگه‌رگچه‌های کوارتزی حاوی کانه‌زایی سولفیدی که نمایانگر نهشت مستقیم کانه‌ها از سیال کانه‌زا هستند، بررسی شدند. این نمونه‌ها شیری رنگ و دربردارنده تعداد زیادی میانبار سیال کوچک هستند. براساس فازهای موجود در میانبارهای سیال در دمای اتاق، (Roedder, 1984; Sheppard and Harris, 1985)، پنج نوع میانبار سیال شامل تک‌فاز مایع (L)، تک‌فاز غنی از گاز (V)، دو فاز غنی از گاز (V+L)، دو فاز غنی از مایع (L+V) و میانبارهای سه‌فازی (L+V+S) قابل تشخیص هستند. میانبارهای سیال تک‌فاز مایع که تنها از فاز مایع (L) تشکیل



شکل ۶. تصاویر میکروسکوپی از انواع میانبارهای سیال موجود در رگه‌رگچه‌های کوارتزی گستره مجیدآباد، (الف) میانبارهای سیال تک‌فاز گاز (V)، (ب) میانبارهای سیال تک‌فاز مایع (L)، (پ) میانبارهای سیال دوفازی غنی از مایع (L+V)، (ت) میانبار سیال دوفازی غنی از گاز (L+V+S)، (ث) میانبار سیال سه‌فازی (L+V+S)، (ج) میانبارهای سیال ثانویه، (چ) میانبارهای سیال با شکل منفی بلورین کوارتز، (ح) میانبارهای سیالی که دچار دمپربیدگی شده‌اند

هالیت به صورت مربعی شکل و بی‌رنگ و کانی‌های کدر به رنگ قرمز تا قهوه‌ای (هماتیت، لیمونیت و گوتیت) و سیاه رنگ (پیریت و کالکوپیریت) می‌باشند. حضور هالیت در میانبارهای سیال بررسی شده بیانگر شوری بالای سیال‌های کانی‌ساز در زمان تشکیل رگه‌رگچه‌های کوارتزی است که یون کلر لازم برای تشکیل کمپلکس‌های حمل‌کننده فلزات را فراهم می‌کنند. در برخی از میانبارهای سیال اولیه و ثانویه (شکل ۶-ج) شکل منفی بلور (شکل ۶-ج) و پدیده دمبریدگی (شکل ۶-ح) مشاهده می‌شود که نشانگر تاثیر تنفس‌های تکتونیکی در گستره پس از کانی‌سازی است.

میکروترمومتری میانبارهای سیال

در مجموع ۶۶ میانبار سیال (ردیف یک تا ۱۷ مربوط به گمانه اول، ردیف ۱۸ تا ۳۶ مربوط به گمانه دوم و ردیف ۳۷ تا ۶۶ مربوط به گمانه سوم) مورد اندازه‌گیری ریزدماسنجی قرار گرفته که شامل ۳۹ میانبار سیال از نوع دوفازی غنی از مایع (L+V)، ۱۹ میانبار از نوع دوفازی غنی از گاز (V+L) و هشت میانبار از نوع سه‌فازی (L+V+S) می‌باشند (جدول ۱).

۱۰ تا ۳۰ درصد حجم میانبار است. اندازه این میانبارها از پنج تا ۲۵ میکرون متغیر است. این میانبارها دارای شکل‌های نامنظم، کروی، بیضوی و تخت هستند و فراوانی به نسبت زیادی در نمونه‌ها دارند. میانبارهای دوفازی غنی از مایع اغلب به صورت منفرد و کمتر انباشتی دیده می‌شوند (شکل ۶-پ). میانبارهای سیال دوفازی غنی از گاز (V+L) با فراوانی کمتری نسبت به میانبارهای دوفازی غنی از مایع (L+V) در نمونه‌ها قابل تشخیص هستند. حجم فاز بخار در این میانبارها حدود ۸۰ تا ۹۵ درصد حجم میانبار است. اندازه این میانبارها از پنج تا ۱۵ میکرون متغیر است.

این میانبارها بیشتر به شکل‌های نامنظم و منفرد دیده می‌شوند (شکل ۶-ت). همراهی میانبارهای سیال تک‌غاز گازی با میانبارهای سیال دوفازی غنی از گاز و غنی از مایع نشان‌دهنده وقوع جوشش سیال در سامانه‌های پورفیری (White and Hedenquist, 1995; Simmons et al., 2005) میانبارهای سیال سه‌فازی (L+V+S) به نسبت کمیاب بوده و ابعاد آنها کمتر از ۱۵ میکرون می‌باشد. فاز نوزاد آنها اغلب هالیت (شکل ۶-ث) و کانی کدر است.

جدول ۱. نتایج ریزدماسنجی میانبارهای سیال در رگه‌رگچه‌های کوارتزی گستره مجیدآباد

نوع میانبار سیال	دما	شوری	نوع میانبار سیال	دما	شوری
L+V	۲۴۴	۸	L+V	۳۴	۸
L+V	۲۶۸	۷	L+V	۳۵	۲۱
L+V	۲۸۵	۱۱	L+V	۳۶	۱۱
L+V	۲۷۵	۱۱	L+V	۳۷	۹
L+V	۲۳۷	۶	L+V	۳۸	۳۸
L+V	۲۱۷	۸	L+V	۳۹	۴۶
L+V	۳۶۲	۱۴	L+V	۴۰	۳۵
V+L	۴۱۰	۱۶	V+L	۴۱	۱۶
V+L	۵۳۰	۱۳	V+L	۴۲	۱۵
V+L	۵۳۶	۱۵	V+L	۴۳	۱۳
L+V	۴۰۲	۳۸	L+V	۴۴	۱۸
L+V	۴۵۳	۴۷	L+V	۴۵	۲۰
L+V	۴۶۹	۵۱	L+V	۴۶	۱۶
L+V	۲۸۸	۱۳	L+V	۴۷	۱۲
L+V	۳۰۵	۱۲	L+V	۴۸	۱۷
L+V	۳۳۳	۱۱	L+V	۴۹	۱۵
L+V	۴۱۹	۴۶	L+V	۵۰	۴۲
L+V+S					

ادامه جدول ۱.

نوع میانبار سیال	دما	شوری	نوع میانبار سیال	دما	شوری	نوع میانبار سیال	دما	شوری
L+V	۳۰۳	۱۴	L+V	۲۱۸	۷	L+V	۱۸	۳۰۳
L+V	۳۵۵	۱۷	L+V	۲۷۹	۹	L+V	۱۹	۳۵۵
V+L	۵۶۷	۲۱	V+L	۲۲۶	۵	L+V	۲۰	۵۶۷
L+V	۳۹۵	۱۵	L+V	۱۵۰	۶	L+V	۲۱	۳۹۵
L+V	۳۸۹	۱۵	L+V	۳۸۸	۱۷	V+L	۲۲	۳۸۹
L+V	۴۱۰	۱۷	L+V	۴۰۲	۲۰	V+L	۲۳	۴۱۰
L+V	۱۴۲	۴	L+V	۴۲۰	۱۶	V+L	۲۴	۱۴۲
L+V	۱۹۲	۵	L+V	۳۶۶	۱۸	V+L	۲۵	۱۹۲
L+V	۲۰۳	۴	L+V	۳۱۹	۱۵	V+L	۲۶	۲۰۳
L+V	۲۹۵	۷	L+V	۴۴۶	۲۲	V+L	۲۷	۲۹۵
L+V+S	۳۴۸	۳۴	L+V+S	۴۸۱	۴۵	L+V+S	۲۸	۳۴۸
L+V+S	۴۴۶	۵۳	L+V+S	۴۳۰	۳۸	L+V+S	۲۹	۴۴۶
L+V+S	۴۲۱	۴۹	L+V+S	۴۹۵	۴۳	L+V+S	۳۰	۴۲۱
L+V	۳۶۶	۱۳	L+V	۱۹۱	۵	L+V	۳۱	۳۶۶
V+L	۴۰۹	۱۹	V+L	۲۱۳	۶	L+V	۳۲	۴۰۹
L+V+S	۵۱۱	۴۶	L+V+S	۲۵۱	۸	L+V	۳۳	۵۱۱

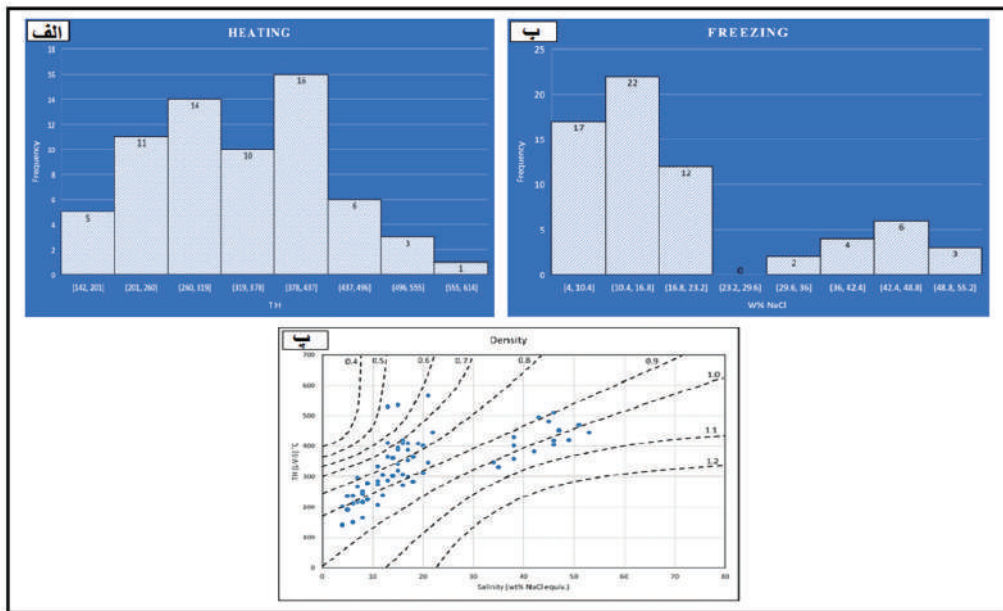
دما، شوری و چگالی سیالات درگیر

نوع دوفازی غنی از گاز (V+L) با درجه پرشدگی کمتر از ۵۰ درصد و چگالی‌های بالا مربوط به میانبارهای سیال از نوع سه‌فازی از نوع (L+V+S) با شوری بالا می‌باشند.

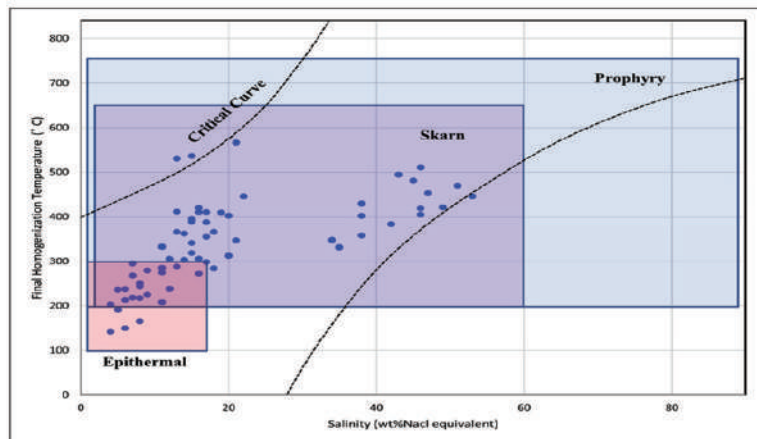
خاستگاه و روند تکامل سیال

براساس داده‌های میانبارهای سیال، در نمودار دمای همگن‌شدن-شوری (شکل ۸ و ۹)، الگوی کلی کانی‌سازی در این گستره با سیستم‌های پورفیری مطابقت دارد و تعدادی از نمونه‌ها هم در گستره کانسارهای اپیترمال قرار می‌گیرند. لیگاندهای موثر در حمل و نقل فلزات از نوع کلریدی و سولفیدی بوده و پدیده جوشش، سرد شدن و رقیق‌شدگی با سیال‌های جوی عامل اصلی تهنشست عناصر فلزی و رخداد کانی‌سازی در گستره مجیدآباد است (شکل ۹). سیال مسئول کانی‌سازی در گستره مجیدآباد سیالی مرکب بوده که از آمیختگی آبهای ماقمایی با آبهای دگرگونی و دریابی تشکیل شده است (شکل ۱۰). چنین فرآیندی در بسیاری از کانسارهای گرمابی در ارتباط با سامانه‌های پورفیری دیده می‌شود (لاجوانی کلاکی و همکاران، ۱۴۰۰؛ رحیمی و همکاران، ۱۴۰۱؛ امینی و معانی‌جو، ۱۴۰۲).

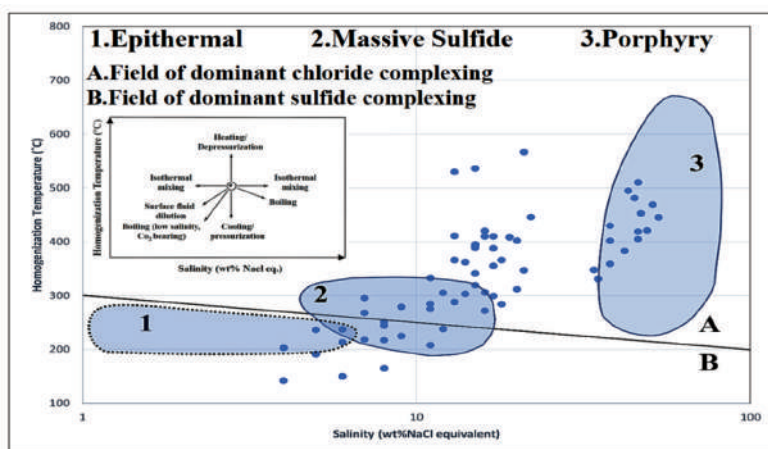
داده‌های ریزدماسنجی میانبارهای سیال نشان می‌دهد که کانی‌سازی در گستره مجیدآباد در گستره دمایی ۱۴۲ درجه سانتی‌گراد و با بیشترین فراوانی در دمای ۳۷۸ درجه سانتی‌گراد صورت گرفته است. دو قله حرارتی در بازه ۲۶۰ تا ۳۱۹ و ۳۷۸ تا ۴۳۷ درجه سانتی‌گراد در میانبارهای سیال دیده می‌شود (شکل ۷-الف)، که بازه اول مربوط به فاز کانی‌سازی اپیترمال حرارت بالا و فاز دوم مربوط به فاز کانی‌سازی پورفیری در این گستره است. کانی‌سازی در گستره مجیدآباد با سیال‌هایی با شوری پایین تا به نسبت بالا (چهار تا ۵۳ درصد وزنی معادل نمک طعام) رخ داده است. دو قله شوری در بازه $10/4$ تا $16/8$ و $42/4$ تا $48/8$ درصد وزنی معادل نمک طعام در میانبارهای سیال مشاهده می‌شوند (شکل ۷-ب). گستره شوری میانبارهای سیال، حضور دو نوع سیال طی کانی‌سازی را نشان می‌دهد: یکی با شوری بالا (بیش از ۲۰ درصد وزنی معادل NaCl) و دیگری با شوری به نسبت پایین (کمتر از ۲۰ درصد وزنی معادل NaCl). براساس نمودار چگالی (شکل ۷-پ)، گستره چگالی میانبارهای سیال بین $1/0/۰$ تا $۵/۵$ گرم بر سانتی‌متر مکعب می‌باشد. چگالی‌های پایین مربوط به میانبارهای سیال از



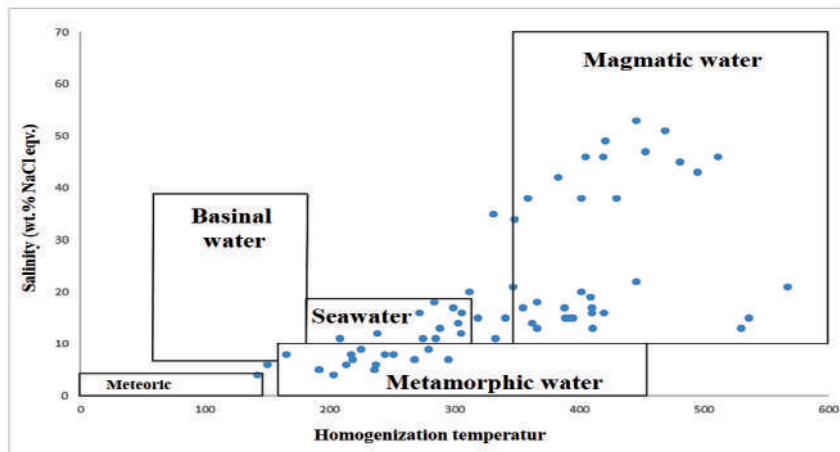
شکل ۷. (الف) دمای همگن شدن، (ب) شوری، (پ) چگالی میانبارهای سیال در رگه-رگجه‌های کوارتزی گستره مجیدآباد



شکل ۸. نمودار دمای همگن شدگی-شوری در کانسارهای مختلف (Wilkinson, 2001)



شکل ۹. نمودار دمای همگن شدگی-شوری میانبارهای سیال برای تعیین نوع کمپلکس‌های حمل‌کننده فلزات و موقعیت آنها در کانسارهای مختلف (Pirajno, 2009)



شکل ۱۰. نمودار دمای همگن شدگی-شوری برای تعیین خاستگاه سیال‌های کانه‌ساز در گستره مجیدآباد (Kesler, 2005)

نتیجه‌گیری

گستره دمایی ۱۴۲ تا ۵۶۷ درجه سانتی‌گراد و دارای چگالی ۰/۰۵ تا ۱/۰۵ گرم بر سانتی‌متر مکعب صورت گرفته است. ریزدماسنجی میانبارهای سیال نشان داد که کمپلکس‌های کلریدی و سولفیدی نقش مهمی در حمل فلزات کانسنگی داشته‌اند و فرآیندهای جوشش و رقیق‌شدگی از عوامل موثر در نهشت کانی‌های کانسنگی بوده‌اند. سیال مسئول کانی‌سازی در گستره مجیدآباد سیالی مرکب بوده که از آمیختگی آب‌های ماقمایی با آب‌های دگرگونی و دریایی تشکیل شده است. چنین فرآیندی در بسیاری از کانسارهای گرمابی در ارتباط با سامانه‌های پوروفیری دیده می‌شود. این داده‌ها در نمودارهای دمای همگن شدگی-شوری، همپوشانی بسیاری با قلمرو کانسارهای اپی‌ترمال تا پوروفیری دارند.

منابع

- امینی، ل. و معانی‌جو، م.، ۱۴۰۲. بررسی رخداد جوشش بر مبنای شواهد کانی‌شناسی، بافتی و میان‌بارهای سیال در کانسارهای اپی‌ترمال: مطالعه موردی کانسار چاه مراد، سیستان و بلوچستان، ایران. فصلنامه علمی علوم زمین، ۳۳، ۱-۲۰.
- رادمرد، ک.، زمانیان، ح.، حسین‌زاده، م.ر. و احمدی خلجی، ا.، ۱۳۹۶. بررسی کانی‌سازی، زمین‌شیمی و میانبارهای سیال در رگه‌های کوارتز در ذخیره طلای مزرعه شادی (شمال شرق تبریز). مجله بلورشناسی و

شواهد صحرایی و بررسی‌های انجام شده نشان می‌دهد که نفوذ توده‌های مونزو-دیوریتی و گابروی در سنگ‌های آتششانی همراه با عملکرد گسل‌ها در شکل گیری کانی‌سازی موثر بوده است. کانه‌زایی در گستره مجیدآباد به صورت پراکنده و رگه‌رگچه‌ای در گسل‌ها، شکستگی‌ها و درزه‌ها رخ داده است و در آن کانی‌های سولفیدی و سیلیس در اثر نهشت مستقیم از سیال‌های گرمابی کانه‌زا تشکیل شده‌اند. با بررسی کانه‌ها در مقاطع صیقلی و نازک‌صیقلی، کانه‌زایی به انواع درونزad و برونزad قابل جدا کردن است. کانه‌های درونزad شامل پیریت و کالکوپیریت هستند که در اثر غنی‌شدگی‌های ثانویه، کانی‌های برونزad کالکوسبیت، کوولیت، هماتیت، لیمونیت، گوتیت و مالاکیت تشکیل شده‌اند. اغلب میانبارهای سیال مورد بررسی، دوفازی غنی از مایع (L+V) بوده و میانبارهای سیال دوفازی غنی از گاز (V+L) با فراوانی کمتری نسبت به میانبارهای دوفازی غنی از مایع (L+V) در نمونه‌ها قابل تشخیص هستند. میانبارهای سیال تک‌غازی و مایع به صورت منفرد، پراکنده و دنباله‌دار در بلورهای کوارتز مشاهده می‌شوند. در برخی از میانبارهای سیال فاز نوزاد هالیت مشاهده می‌شود که دلیل بر بالا بودن شوری در سیال است. کانی‌سازی در گستره مجیدآباد توسط سیال‌هایی با شوری پایین تا به نسبت بالا (چهار تا ۵۳ درصد وزنی معادل نمک طعام)، در

- 2, 529-538.
- Dercourt, J.E., Zonenshain, LP, Ricou, LE, Kazmin, V. G., Le Pichon, X., Knipper, A.L., Grandjacquet, C., Sbortshikov, I.M., Geyssant, J., Lepvrier, C. and Pechersky, D.H., 1986. Geological evolution of the Tethys belt from the Atlantic to the Pamirs since the Lias. *Tectono-physics*, 123(1-4), 241-315.
 - Dilek, Y., Imamverdiyev, N. and Altunkaynak, S., 2010. Geochemistry and tectonics of Cenozoic volcanism in the Lesser Caucasus (Azerbaijan) and the peri-Arabian region: collision-induced mantle dynamics and its magmatic fingerprint. *International Geology Review*, 52(4-6), 536-578.
 - Ebrahimi, S., Alirezaei, S. and Pan, Y., 2011. Geological setting, alteration, and fluid inclusion characteristics of Zaglic and Safikhanloo epithermal gold prospects, NW Iran. *Geological Society, London, Special Publications*, 350(1), 133-147.
 - Ghorbani, M., 2013. A summary of geology of Iran, In *The Economic Geology of Iran*, Springer, Dordrecht, 45-64.
 - Hajalilou B. and Aghazadeh M., 2016. Fluid Inclusion Studies on Quartz Veinlets at the Ali Javad Porphyry Copper (Gold) Deposit, Arasbaran, Northwestern Iran. *Journal of Geoscience and Environment Protection*, 4 (06), 80-91.
 - Hezarkhani, A., 2006. Petrology of the intrusive rocks within the Sungun porphyry copper deposit, Azerbaijan, Iran. *Journal of Asian Earth Sciences*, 27(3), 326-340.
 - Innocenti, F., Mazzuoli, R., Pasquare, G., Radicati di Brozolo, F. and Villari, L., 1982. Tertiary and quaternary volcanism of the Erzurumkars area (Eastern Turkey): geochronological data and geodynamic evolution. *Journal of Volcanology and Geothermal Research*, 13, 223-240.
 - Jamali, H., Dilek, Y., Daliran, F., Yaghoubpur, A. and Mehrabi, B., 2010. Metallogeny and tectonic evolution of the Cenozoic Ahar-
 - کانی‌شناسی ایران، ۲۵، ۸۴۴-۸۲۳.
 - رحیمی، ن.، نیرومند، ش.، لطفی، م. و رحیمی شهید، م.، ۱۴۰۲. زمین‌شناسی، کانی‌شناسی و مطالعه میانبارهای سیال در کانسار مس-مولیبدن پورفیری جانجا، پهنه زمین‌درز سیستان، جنوب خاور ایران. *فصلنامه علمی علوم زمین*، ۳۲، ۳۰-۱۳.
 - زرناک اکتشاف (مهندسين مشاور)، ۱۳۸۶.
 - مطالعات زمین‌شناسی و دگرسانی در منطقه هفت‌چشمه. شرکت ملی صنایع مس ایران.
 - لاجوئی کلاکی، م.س.، اکبرپور، ا.، تارانتولا، ا.، حسنپور، ش.، محمدی، ب. و پشتکوهی، ک.، ۱۴۰۰. سنگنگاری، کانی‌شناسی، لیتوژئوشیمی و مطالعات میانبارهای سیال در کانسار طلا-مس قشلاق میل، شمال باختر ساوه، ایران. *فصلنامه علمی علوم زمین*، ۳۱، ۲۱۲-۱۹۹.
 - محمدی، م. و بربنا، ب.، ۱۳۸۵. گزارش زمین‌شناسی و حفاری در منطقه مسجد داغی. شرکت ملی صنایع مس ایران.
 - مهدوی، م.ا. و امینی‌فضل، ا.، ۱۳۶۸. نقشه زمین‌شناسی ۱:۱۰۰۰۰۰ اهر. سازمان زمین‌شناسی ایران.
 - مهرپرتو، م.خ. و ناظر، ن.، ۱۳۷۸. نقشه زمین‌شناسی ۱:۱۰۰۰۰۰ کلیبر. سازمان زمین‌شناسی ایران، تهران.
 - نبوی، م.ح.، ۱۳۵۵. دیباچه‌ای بر زمین‌شناسی ایران، سازمان زمین‌شناسی ایران، ۱۱۰.
 - Alavi, M., 2007. Structures of the Zagros fold-thrust belt in Iran. *American Journal of science*, 307(9), 1064-1095.
 - Alirezaei, S., Ebrahimi, S. and Pan, Y., 2008. Fluid inclusion characteristics of epithermal precious metal deposits in the Arasbaran metallogenetic zone, Northwestern Iran [extended abs.], ACROFI-II, India, 1-4.
 - Calagari, A. A., 2004. Fluid inclusion studies in quartz veinlets in the porphyry copper deposit at Sungun, East-Azarbaidjan, Iran. *Journal of Asian Earth Science*, 23, 179-189.
 - Chi, G. and Guha, J., 2011. Microstructural analysis of a subhorizontal gold-quartz vein deposit at Donalda, Abitibi greenstone belt, Canada: Implications for hydrodynamic regime and fluid-structural relationship. *Geoscience Frontiers*,

- Arasbaran volcanic belt, northern Iran. International Geology Review, 52(4-6), 608-630.
- Jamali, H. and Mehrabi, B., 2015. Relationships between arc maturity and Cu-MO-Au porphyry and related epithermal mineralization at the Cenozoic Arasbaran magmatic belt. Ore Geology Review, 31, 123-138.
 - Kant, W., Warmada, I.W., Idrus, A., Setijadji, L.D. and Watanabe, K., 2012. Fluid inclusion study of the polymetallic epithermal quartz veins at Soripesa prospect area, Sumbawa island Indonesia. Asian Applied Geology, 4(2), 77-89.
 - Kesler, S.E., 2005. Ore forming fluids. Elements, 1, 13-18.
 - Moncada, D. and Bodnar, R. J., 2012. Gangue mineral textures and fluid inclusion characteristics of the Santa Margarita Vein in the Guanajuato Mining District, Mexico. Central European Journal of Geosciences, 4(2), 300-309.
 - Pirajno, F., 2009. Hydrothermal processes and mineral systems. Springer Science, New York, 1273.
 - Randive, K.R., Hari, K.R., Dora, M.L., Malpe, D.B. and Bhondwe, A.A., 2014. Study of fluid inclusion: methods, techniques and applications. Geological Magazine, 29, 19-28.
 - Roedder, E., 1984. Fluid inclusions. Reviews in Mineralogy. Mineralogical Society of America, Washington, 12, 644.
 - Sheppard, S. M. and Harris, C., 1985. Hydrogen and oxygen isotope geochemistry of Ascension Island lavas and granites: variation with crystal fractionation and interaction with sea water. Contributions to Mineralogy and Petrology, 91, 74-81.
 - Shimizu, T., 2018. Fluid Inclusion Studies of Comb Quartz and Stibnite at the Hishikari Au-Ag Epithermal Deposit, Japan. Resource Geology, 68(3), 326-335.
 - Simmonds, V., Calagari, A.A. and Kyser, K., 2015. Fluid inclusion and stable isotope studies of the Kighal porphyry Cu-Mo prospect, East-Azabaidjan, NW Iran. Arabian Journal of Geosciences, 8, 473-453.
 - Simmonds, V. and Moazzen, M., 2015. Re-Os dating of molybdenites from Oligocene Cu-Mo-Au mineralized veins in the Qarachilar area, Qaradagh batholith (northwest Iran): Implications for understanding Cenozoic mineralization in South Armenia, Nakhchivan, and Iran. International Geology Review, 57, 290-304.
 - Simmons, S.F., White, N.C. and John, D.A., 2005. Geological characteristics of epithermal precious and base metal deposits. Economic Geology, 100, 485-522.
 - Tun, M.M., Warmada, I.W., Idrus, A., Harijoko, A., Verdiansyah, O. and Watanabe, K., 2014. Fluid inclusion studies of the epithermal quartz veins from Sualan prospect, west Java, Indonesia. Journal of SE Asian Applied Geology, 6, 62-67.
 - White, N.C. and Hedenquist, J.W., 1995. Epithermal gold deposits: Styles, characteristics and exploration. Society of Economic Geologists Newsletter, 23(1), 9-13.
 - Whitney, D.W. and Evans, B.W., 2010. Abbreviations for names of rock forming minerals. American Mineralogist, 95, 185-187.
 - Wilkinson, J.J., 2001. Fluid inclusions in hydrothermal ore deposits. Lithos, 55, 229-272.
 - Zaravandi, A., Zaheri, N., Pourkaseb, H., Chrachi, A. and Bagheri, H., 2014. Geochemistry and fluid inclusion micro thermometry of the Farsesh barite deposit, Iran. Geologos, 20, 201-214.